

Ю.А. ПЬЯНКОВ

РАСЧЕТ ОБЛАСТЕЙ ВРАЩЕНИЯ ВЕКТОРА НАМАГНИЧЕННОСТИ  
В ОДНОДОМЕННЫХ ФЕРРОМАГНИТНЫХ ПЛЕНКАХ

Для определения областей вращения вектора намагниченности было проведено большое количество решений уравнения (20) статьи I при  $h_{ye} = 0$ ,  $h_{xe} = -h \sin \theta$ :

$$n^2 \frac{d^2 \varphi}{d\theta^2} + \beta n \frac{d\varphi}{d\theta} + \frac{1}{2} \sin 2\varphi + h \sin \theta \cos \varphi = 0. \quad (I)$$

Уравнение (I) решалось методом Эйлера при нулевых начальных условиях и при изменении  $\theta$  от 0 до  $20\pi$  с шагом интегрирования  $\Delta\theta = 2\pi \cdot 10^{-4}$ . При этом варьировались значения  $n$ ,  $h$  и  $\beta$ . Значения  $\beta$  были взяты близкими к реальным для пермаллоевых пленок. Решения проводились на электронной цифровой машине Вычислительного центра СО АН СССР. В результате анализа решений были определены области вращения вектора намагниченности. Значения параметров  $n$ ,  $h$  и  $\beta$  считались принадлежащими области вращения, когда за 10 периодов внешнего поля вектор намагниченности совершил приблизительно 10 оборотов. Полученные области для значений  $\beta = 1$  и  $2$  приведены на рис. I. Некоторые из полученных решений приведены на рис. 2, 3, 4 и 5. При значении  $\beta = 0$  за 10 периодов изменения внешнего поля вектор намагниченности при определенных условиях совершил значительные большие десяти оборотов. Поэтому для этого случая приведен график зависимости  $\varphi(h)$ , где  $\varphi$  — угол, на который повернулся вектор намагниченности к концу десято-

го периода изменения внешнего поля. В случаях, когда вектор намагниченности совершал значительно больше десяти оборотов за десять периодов внешнего поля, результаты решений нельзя считать достоверными, так как значение шага интегрирования  $\Delta \theta$  оставалось неизменным, равным  $2\pi \cdot 10^{-4}$ . Для случаев же, когда вектор намагниченности совершал количество оборотов порядка 10, значение шага интегрирования, равное  $2\pi \cdot 10^{-4}$ , давало достаточно точные решения.

Полученные зависимости могут быть использованы совершенно аналогично случаю исследования параметрических колебаний в статье 3. Согласно статье I (уравнение (24)), мощность, выделяющаяся при вращении вектора намагниченности, может быть оценена по формуле:

$$P \cong \frac{\omega^2 L B_s}{\mu_0 \gamma} \cdot v. \quad (2)$$

Максимальное значение напряжения в витке, плотно обхватывающем пленку, может быть оценено по формуле:

$$U_m \cong \omega S' B_s. \quad (3)$$

Здесь применены те же обозначения, что и в статьях I и 3.

Любопытно провести некоторое сравнение рототорона, элемента, в котором используется вращение вектора намагниченности, с параметроном. Сравнение можно, для определенности, провести при одном и том же значении  $\omega$ . Это означает, что частота поля питания для параметрона в два раза больше частоты поля питания для рототорона.

Согласно формуле (2) статьи 3, мощность, выделяющаяся в параметроне, равна:

$$P_n = \frac{\omega^2 L B_s}{\mu_0 \gamma} \cdot v_n \cdot \frac{U_m^2}{2}. \quad (4)$$

Максимальное значение напряжения равно:

$$U_{mn} = \omega S'_n \cdot B_s \cdot U_m. \quad (5)$$

При сравнении можно положить  $P_n = P_p$ ,  $U_{mn} = U_{mp}$ , где  $P_p$  и  $U_{mp}$  - соответствующие значения для рототорона, выражения для которых даны уравнениями (2) и (3).

Если для простоты принять ферромагнитные пленки параметрона и рототорона круглыми, имеющими диаметр  $D$  и толщину  $a$ , то при равенстве мощностей и напряжений должны выполняться соотношения:

$$\begin{aligned} a_p &= a_n \\ D_p &= D_n \cdot \frac{U_m}{2}, \quad v_p = v_n \cdot \frac{U_m^2}{2}. \end{aligned} \quad (6)$$

Уравнения (6) показывают те условия, при которых оба элемента будут равносильными с точки зрения выделяющихся в них мощностей и напряжений.

Однако следует иметь в виду, что при соблюдении условий (6) рототорон все же будет иметь определенные преимущества перед параметроном. Как следует из статьи 3, параметрические колебания существуют при небольших изменениях параметра  $v$ , в то время как вращение может происходить при очень больших изменениях параметра  $v$ , аналогичного  $v$ . Кроме того, напряжение на параметроне зависит от  $U_m$ , а на рототороне не зависит, поэтому при одинаковых разбросах параметров в пленке и в конденсаторе напряжение на рототороне имеет меньший разброс, чем на параметроне.

У рототорона можно предполагать значительно меньший переходной процесс, чем у параметрона.

Однако следует указать, что в настоящее время еще не могут быть проведены окончательные заключения о преимуществе того или иного элемента.

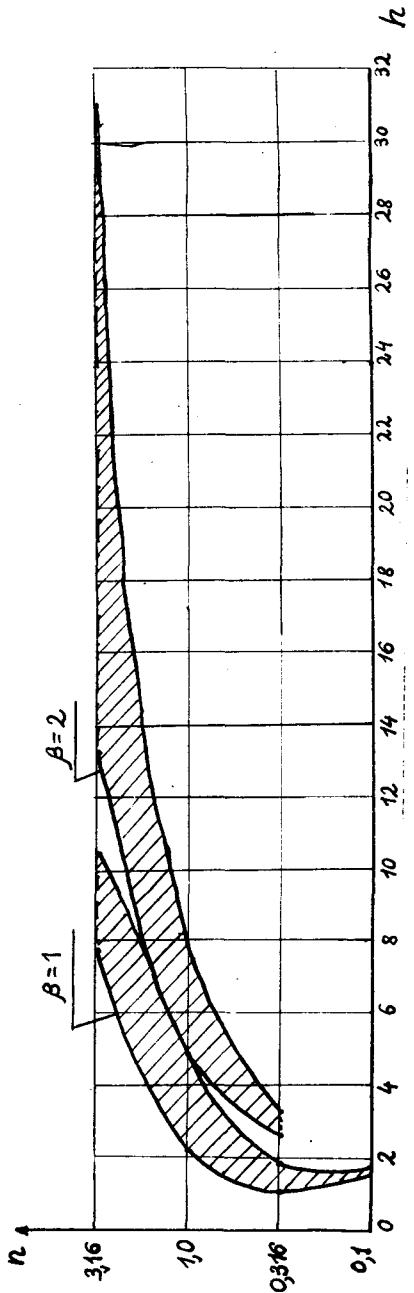


Рис.1. Области вращения вектора намагниченності.

34

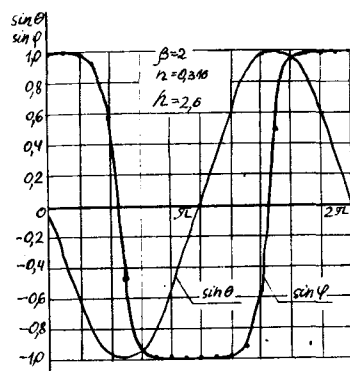


Рис.2.

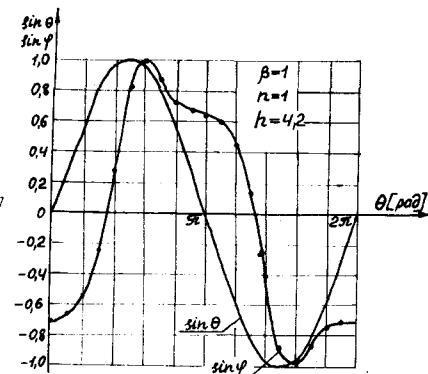


Рис.3.

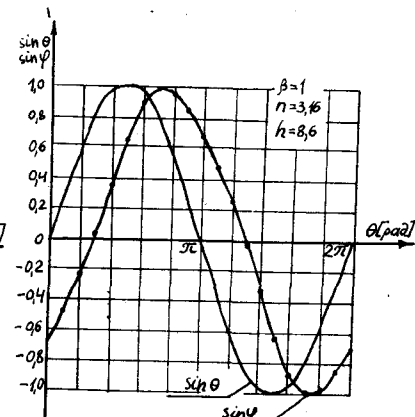


Рис.4.

Рис.5.

Графики изменения  $\sin \varphi$  как функции  $\theta$   
при заданных  $\beta$ ,  $n$  и  $h$ .

35

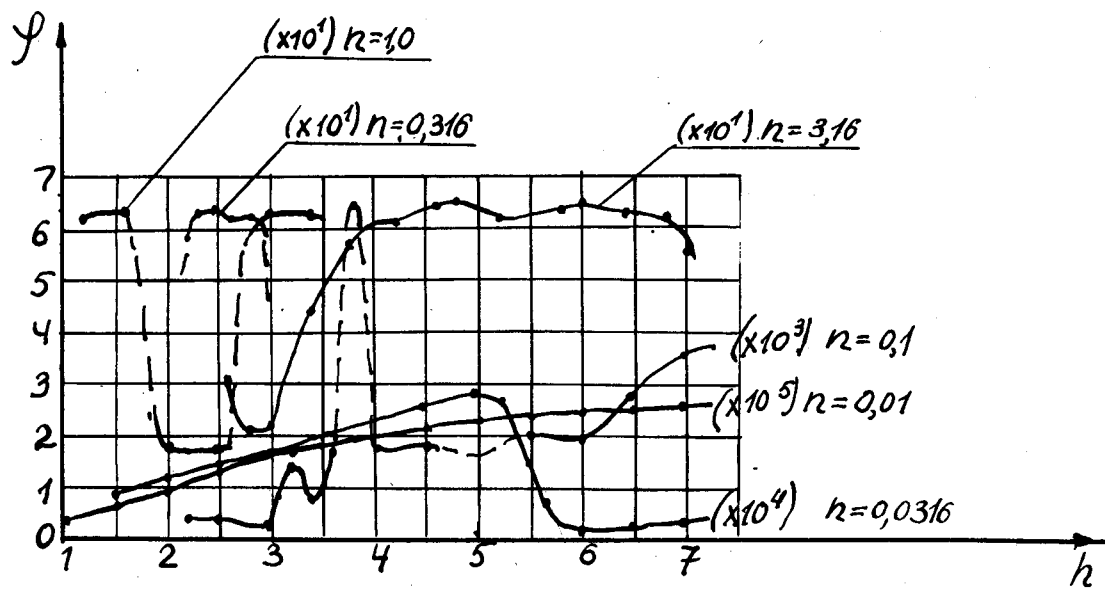


Рис.б. Графики изменения угла поворота  $\varphi$  вектора намагниченности как функции  $h$  при заданных  $n$  за десять периодов изменения  $\varphi$